

九州大学 工学部 正会員 横木 武
九州大学 工学部 学生員○板井 幸市

1. はじめに 本研究は、著者らが先に発表した連続圧縮体モデルによる交通流理論¹⁾に、飛躍量の概念を導入することにより、Q-Dカーブが場所により変化する実際の道路システムの解析を可能にせんとするものである。すなはち、先の理論において、解の振動を止める方法が適当でないため、解の誤差が生ずることが分かるので、その修正についても明らかにする。

2. 解析理論 解の振動を止めらる方法として、時刻tと時刻t+2Δtの解を求める、その平均値をとることにより時刻t+Δtの解としたが、この手法による場合、各時間段階における変動影響区間が大きくなりすぎ、すなはち、交通量の収束性が大きくなりすぎる難点がある。したがって、ニニでは、基礎式の定式化において、空間座標に関して離散化した後、時間差分をとるという方法を用い、解の振動に対処するとともに、各時間段階の追跡を直接行なふよう工夫するものである。

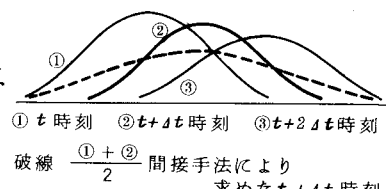


図-1

すなはち、基礎微分方程式は、 $\frac{\partial D}{\partial t} - V_0 \frac{\partial D}{\partial x} - \varphi = 0$ (1) D : 交通密度

φ : 単位長さ当たりの発生分布交通量

であり、これに Galerkin 法を適用し定式化すれば、

$$(\nabla_{ij} D_{ij}) + (\Pi_{ij} D_{ij}) + (Q_{ij}) = 0 \quad (2)$$

$$\text{ここで, } \nabla_{ij} = \frac{V_0}{2} \begin{bmatrix} -1 & 1 \\ -1 & 1 \end{bmatrix}, \quad \Pi_{ij} = \frac{l_{ij}}{6} \begin{bmatrix} 2 & 1 \\ 1 & 2 \end{bmatrix} \quad l_{ij}: \text{要素 } i-j \text{ の長さ}$$

$$Q_{ij} = \frac{\varphi_i l_{ij}}{2} \begin{bmatrix} 1 \\ 1 \end{bmatrix}, \quad D_{ij} = \begin{bmatrix} D_{i1} \\ D_{j1} \end{bmatrix}$$

上式において、 D_{ij} に関する時間差分を代入することにより次式が得られる。

$$(A_{ij} D_{ij}^{(x+1)}) - (B_{ij} D_{ij}^{(x)}) - (Q_{ij}) = 0 \quad (3)$$

$$\text{ここで, } A_{ij} = \nabla_{ij} + \frac{1}{\Delta t} \Pi_{ij}, \quad B_{ij} = \frac{1}{\Delta t} \Pi_{ij}$$

とくに、図-2に示すようなモデルを考え、 j 地点の上流側と下流側。

図-3のようにQ-Dカーブが異なるものとする。 j 地点において交通量は連続であるので、 j 地点の上流側で $D_{j,1}$ である。 j 地点の交通密度は、 j 地点を通過する時に $D_{j,2}$ に達するものと考えられる。したがって、式(3)において要素 $i-j$ 間では、 j 地点の密度として $D_{j,1}$ を、要素 $j-i$ 間では $D_{j,2}$ を用いなければならぬことが分かる。

式(4)の左辺に対する要素 $i-j$ の寄与 $\Delta \varphi_{ij}$ は、

$$\Delta \varphi_{ij} = A_{ij} D_{ij}^{(x+1)} - B_{ij} D_{ij}^{(x)} - Q_{ij} \quad (4)$$

であり、ニニに用いるべき j 地点の密度は $D_j = D_{j,1}$ である。これに反して、要素 $j-i$ の寄与 $\Delta \varphi_{ji}$ においては、 $D_j = D_{j,2}$ を用いなければならない。ニニで、 j 地点における密度を連続成分と飛躍成分に分割し、 $D_{jE} = D_{j,1}' + D_{j,2}''$ とすれば、

$$D_{jE}' = \begin{bmatrix} D_{j,1} \\ D_{j,1} \end{bmatrix} \quad (\text{連続成分}), \quad D_{jE}'' = \begin{bmatrix} D_{j,2} - D_{j,1} \\ 0 \end{bmatrix} \quad (\text{飛躍成分})$$

図-2

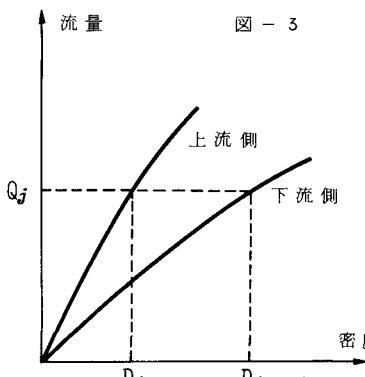
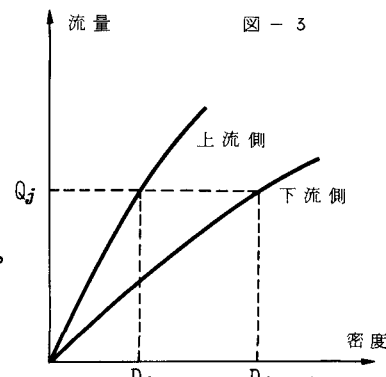


図-3

である。式(5)を用いて△ D_{jk} を表せば、

$$\Delta D_{jk} = A_{jk} D_{jk}^{(2x1)} + A_{jk} D_{jk}^{(2x2)} - B_{jk} D_{jk}^{(1x1)} - B_{jk} D_{jk}^{(1x2)} - Q_{jk}$$

したがって、道路システム全体について集積すれば、

$$[A_{jk} D_{jk}^{(2x1)}] = -[A_{jk} D_{jk}^{(1x1)}] + [B_{jk} D_{jk}^{(1x2)}] + [Q_{jk}] \quad (7)$$

となり、これが本題の基礎式となるものである。

解析に当っては、式(7)の右辺第一項は未知である。また、この式は後退差分により求めたものであるので、係数マトリックス A_{jk} が未知となる。したがって、 $D_{jk}^{(2x1)} = 0$, $A_{jk}^{(2x1)} = A_{jk}^{(1x1)}$ と仮定し、式(7)を近似的に解き、その成果を用いて $D_{jk}^{(1x1)}$, $A_{jk}^{(1x1)}$ の第一

次近似解を算出し、同様の演算を収束するまで繰り返すという試算法により D_{jk} が求まるところとなる。

3. 計算結果 1例として、延長 2.1 km の 1 ルートシステムの道路に、図-4 のような三角波が流入する場合を取り上げる。使用する Q-D カーブは 1/km の地点の上流域と下流域で図-5 のように異なるものとする。図-6 は各時間段階における交

通密度を示したものであるが、1/km

地点における密度差が累積量とな

る。この時、各時間段階における

交通量が図-7 のように表わされる。

1/km 地点で現形が折れ、それよ

り下流において現形が戻くなるとい

うのが分かる。これは、下流域の Q-

-D カーブの勾配が、上流域のそれ

に比べて大きいからである。また、道

路システム全体が図-5 の上流域の

Q-D カーブと同じ Q-D カーブを

持つ場合と比較してみると、1/km

地点より上流の現形はほとんど一致

する。このことは、下流域の交通量が、その限界容量に達していない限り、上流域に影響を与えないという当然の帰結を意味する。

4. おわりに 積算量の概念を導入することにより、Q-D カーブが場所により異なる実際の道路システムの解析に対し、一応妥当な結果を得た。交通流解析において、最も興味があるところは、エッジネットの取り扱いと想われるが、Q-D カーブが異なることにより生ずる衝撃波の速度を求めるこことにより、交通渋滞等の dynamic な取り扱いに関する研究を進めて行きたいと思う。

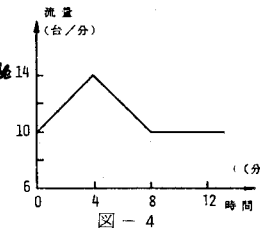


図-4

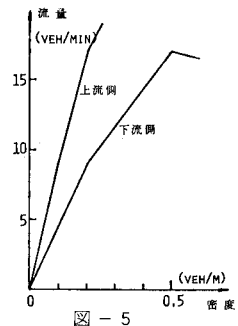


図-5

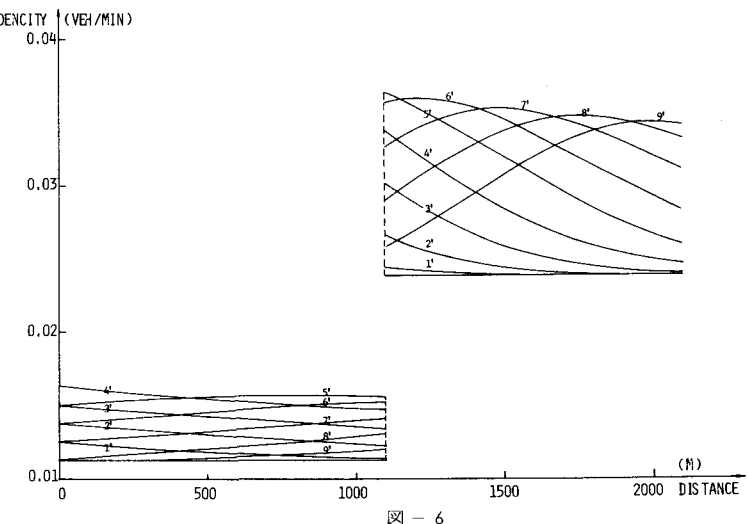


図-6

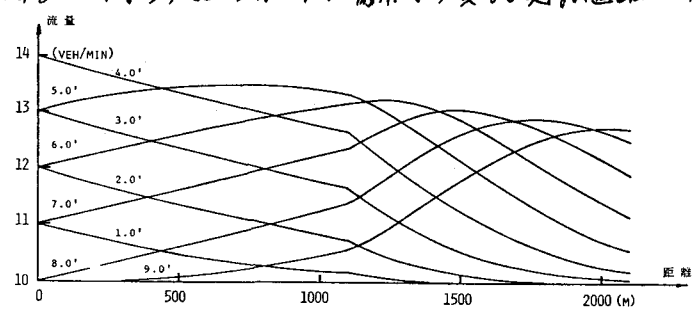


図-7